

تحلیل دینامیکی اندرکنش خاک و سازه در سازه‌های بتونی به روش المان محدود*

محمد حسین امین‌فر^(۱)بهمن فرهمند آذر^(۲)هادی صفری^(۳)مرتضی بیک لریان^(۴)

چکیده در عمل، سازه بر لایه‌های خاک انعطاف‌پذیر واقع شده است. بنابراین خاک نیز باید بمانند سازه مدل شود. یک سازه با تکیه‌گاه صلب، و یک سازه با تکیه‌گاه انعطاف‌پذیر از این لحاظ با یکدیگر اختلاف دارند که ممکن است قسمت اصلی انرژی ارتعاشی به وسیله‌ی تشعشع امواج و نیز توسط عمل هیسترزیس در خاک مستهلاک شود. در آیینه‌نامه‌ی ۲۱۰۰ خاک زیر سازه صلب فرض شده است و از اثرات اندرکنش خاک - سازه صرف نظر شده است. در این تحقیق سعی شده تا تأثیر اندرکنش خاک - سازه بر پاسخ‌های ارتعاشی برای قاب‌های خمیشی بتونی بررسی شود و روشی بر پایه‌ی المان‌های محدود مطابق با خصوبات و پارامترهای آیینه‌نامه‌ی ۲۱۰۰ ارائه شود. دقت روش ارائه شده با چهار روش دیگر مراجع مقایسه شده است. نتایج حاصل از تاریخچه‌ی زمانی و تحلیل مودال بر روی سیستم‌های معرفی شده در نمودارها و جداول ارائه شده است.

واژه‌های کلیدی اندرکنش خاک-سازه، تکیه‌گاه انعطاف‌پذیر، تکیه‌گاه صلب، پاسخ ارتعاشی سازه، روش المان محدود.

Dynamic Soil – Structure Interaction Analysis of Concrete Structures by Using Finite Elements Method

M. H. Aminfar

B. Farahmand

H. Safari

M. Biklaryan

Abstract In practice, foundations are settled on the soft layers of soil, so the ground must be designed as well as the structure. Wave propagation and hysteresis damping of soil layers may alter the seismic response of flexible-base design in comparison to controversial fixed-base. Lots of uncertainties about this issue, necessitate most of seismic design standards including Iranian standard No. 2800 to neglect the soil – structure interaction (SSI) effects on seismic response of structures. A simplified finite elements method is proposed in this research and applied according to the Standard No. 2800 criteria on reinforced concrete structures. The accuracy and efficiency of this method is compared with four other similar researches, and the results of time history and modal analyses for descriptive reinforced concrete systems are illustrated in the form of figures and charts.

Key Words Soil-Structure Interaction, Flexible-Base, Fixed-Base, Seismic Responses, Finite Elements Method

★ تاریخ دریافت مقاله ۹۰/۲/۳ و تاریخ پذیرش آن ۹۱/۷/۱۲ می‌باشد.

(۱) نویسنده‌ی مسؤول: دانشیار دانشکده عمران، دانشگاه تبریز.

(۲) دانشیار دانشکده عمران، دانشگاه تبریز.

(۳) دانشجوی دکتری عمران، دانشکده فنی و مهندسی، گروه عمران، دانشگاه محقق اردبیلی.

(۴) دانشجوی دکتری عمران، دانشکده عمران، دانشگاه تبریز.

نمودند و به این نتیجه رسیدند که با اصلاح پریود سازه می توان اثرات اندرکنش خاک سازه را در نظر گرفت [9]. در سال ۲۰۰۷ میلادی، هونگ و همکارانش در ادامه تحقیقات در زمینه مدل های المان محدود به منظور مدل کردن ناحیه های دور خاک از المان های ویسکوز استفاده کردند و تلاش کردند تا خصوصیات غیر خطی خاک را در مدل خود اعمال کنند [18]. مطالعات در زمینه المان های مرزی در روش المان های محدود مورد توجه محققان بسیاری می باشد. در سال ۲۰۰۱ میلادی، یرلی و تانریکولو روش مختلط المان های محدود و المان های نامحدود و روش المان های مرزی را ارائه کردند که در این تحقیق برای بررسی دقت مدل خاک پیشنهادی بکار رفته است [10,11,14]. در سال ۲۰۰۴ ول夫 مدل مخروطی یا Cone را برای مدل کردن خاک زیر سازه استفاده کرد در این تحقیق برای بررسی میزان دقت مدل خاک ارائه شده به همراه سازه از آن استفاده شده است [15,20]. در سال ۲۰۰۴ میلادی، حسینزاده و ناطقی مطالعات آزمایشگاهی به منظور بررسی تأثیرات اندرکنش خاک و سازه بر مدل آزمایشگاهی خود انجام دادند که در این تحقیق سعی شده است از نتایج و پارامتر های به کار گرفته شده در آن استفاده شود [16]. در سال ۲۰۰۹ میلادی، ناصر مطالعات خود را در زمینه تأثیرات اندر کنش خاک و سازه بر قاب های بتون آرمه انجام داده است [20].

در این مطالعه سعی شده است تا با استفاده از المان های فنر و میراگر وايتمن و ریچارد که به صورت یک جرم متمرکز و فنر در زیر سازه مدل می شود و با استفاده از روش المان های محدود که مورد توجه بسیاری از محققان می باشد مدل ترکیبی اصلاح شده ای برای بررسی تأثیرات اندرکنش خاک و سازه ارائه شود. در ادامه تلاش شده است میزان تأثیرات اندرکنش خاک و سازه بر سازه های بتونی واقع بر روی پیهای سطحی مطابق با ضوابط و پارامترهای

مقدمه

اندرکنش خاک و سازه مسئله بسیار مهمی است خصوصاً برای سازه های سنگین و سخت که بر زمین های انعطاف پذیر ساخته شده اند. این مسئله پاسخ های سازه را تا حد قابل توجهی تغییر می دهد. بنابراین تأثیرات این اندرکنش باید در پاسخ های دینامیکی سازه در نظر گرفته شود [1]. موضوع تحلیل و طراحی سازه ها در برابر زلزله در مطالعات زیادی مورد تحقیق و بررسی قرار گرفته است. در هنگام وقوع زلزله رفتار خاک زیر سازه نقش مهمی در پاسخ سازه ایفا می کند. در اغلب موارد، خاک مدل نمی شود و از تأثیرات مهم آن صرف نظر می شود. به علت نامحدود بودن محیط خاک، مدل سازی آن پیچیدگی بیشتری نسبت به مدل سازی سازه دارد. در سازه هایی که تحت تأثیر زلزله قرار گرفته اند علاوه بر نیرو های دینامیکی وارد و تنش های ناشی از آن در سازه، پارامتر زمین و خاک به عبارت بهتر رفتار متقابل خاک و سازه، نقش انکار ناپذیری بر عهده دارد و رفتار سیستم را به مقدار قابل توجهی تحت تأثیر قرار می دهد. این امر باعث گردیده که این موضوع در سال های اخیر مورد توجه محققان زیادی قرار گیرد. در سال ۱۹۶۷ میلادی، وايتمن و ریچارد نیم فضای الاستیک زیر سازه را به صورت یک جرم متمرکز و فنر مدل کردند و در این مدل، فنرها و میراگرهای در نظر گرفته شده، مستقل از محتوا فرکانسی بار بودند [2]. در سال ۱۹۷۵ میلادی، کاسل و روزتروشی بر پایه المان محدود بود را بیان کردند [4]. این روش در سال ۱۹۷۵ میلادی، توسط سید و لایسمر مورد مطالعه بیشتر قرار گرفت و المان های مرزی مختلفی برای این روش بیان کردند [5]. در سال ۲۰۰۰ میلادی، رودریگوز و مونتز با تعیین پارامترهای موجود در سیستم یک درجه آزادی ارائه شده در آیین نامه ATC3-06 برای سازه های متداول در مکزیک و با در نظر گرفتن شرایط خاک منطقه، اثر اندر کنش را بر رفتار غیر خطی سازه بررسی

تماس در میدان دور محاسبه می‌شوند، سپس به صورت نیرو در تحلیل اجزای محدود میدان نزدیک اعمال می‌شوند. عدم کارایی این روش، یافتن راه حلی برای مسئله‌ی پراکندگی امواج در میدان نزدیک و دور می‌باشد [12].

در مواردی که لایه‌بندی خاک در جهات افقی و عمودی قرار گرفته و بررسی رفتار غیر خطی خاک در تحلیل اندر کنش ضروری باشد، استفاده از مدل نیم بی‌نهایت ارجاعی امکان‌پذیر نیست و باید از روش عناصر محدود استفاده شود. در این روش می‌توان علاوه بر در نظر گرفتن میرایی هندسی، مشابه مدل نیم بی‌نهایت ارجاعی، مدفون‌شدنگی بی و لایه‌بندی خاک در جهات افقی و عمودی را به راحتی در تحلیل دخالت داد. گرچه امکان تحلیل سه‌بعدی نیز در این روش امکان پذیر است، لیکن به علت حجم بالای محاسباتی این روش، آن را به صورت مدل دو‌بعدی معادل شبیه‌سازی می‌کنند شکل (۱). خصوصیات گره‌ها روی این مرزا که مرز اندر کنش نامیده می‌شوند نمایانگر خصوصیات مهم دامنه‌ی نامحدود خاک در خارج از این مرزا می‌باشند. برای مثال در یک تحلیل دامنه‌ی فرکانس، خصوصیات سختی دینامیکی مربوط به گره‌های این مرز اندر کنش، بین‌گر رفتار خاک نامحدود می‌باشد. رفتار خاک نامحدود همیشه خطی فرض می‌شود. موقعیت این مرز اختیاری است که می‌تواند نزدیک و یا دور در نظر گرفته شود. اگر مرز اندر کنش برای مدل کردن خاک به اندازه‌ی کافی دور از سازه انتخاب شود به آن مرز مصنوعی می‌گویند. این مرزا مصنوعی باید طوری انتخاب شوند که انعکاس موج نداشته و به اندازه‌ی کافی دور از سازه باشند تا اثرات خاک در تحلیل دینامیکی مدل نظر قرار گیرند. به این روش مدل کردن خاک روش مستقیم می‌گویند. اگر این مرز در نزدیک سازه انتخاب شود می‌توان از روش زیر سازه که یکی از مدل‌های مختلط است استفاده کرد.

آینه‌نامه‌ی ۲۸۰۰ بررسی شود.

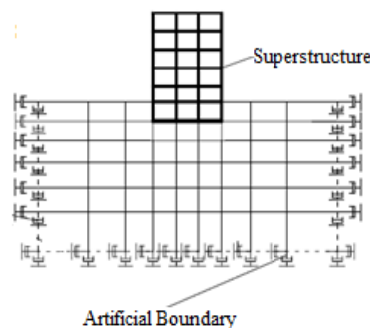
مدل خاک و سازه برای در نظر گرفتن اندر کنش خاک-سازه

یک مدل خاک در صورتی به شرایط طبیعی نزدیک می‌باشد که در آن سختی‌های خاک، میرایی ماده، میرایی تشعشعی، کرنش‌های غیرخطی و تغییرات خواص خاک در نظر گرفته شود. روش‌های تحلیل اندرکنش خاک-سازه به سه دسته‌ی روش مستقیم، روش زیرسازه و روش مختلط تقسیم می‌شوند. در روش مستقیم، پاسخ سیستم خاک-سازه به طور هم‌زمان با تحلیل سیستم خاک-سازه در یک گام به دست می‌آید. روش المان محدود نمونه‌ای از این روش می‌باشد. در حالاتی که امکان مدل کردن خاک زیر سازه به صورت المان محدود وجود نداشته باشد روش زیر سازه به کار می‌رود. در این روش اثر خاک بر سازه به وسیله‌ی یک سری فنر و میراگر تعريف می‌گردد که مشخصات آن‌ها به صورت تابعی از فرکانس ارتعاشی معرفی می‌گردد. مهم‌ترین مزیت این روش، عدم مدل کردن لایه‌های خاک می‌باشد، اما این روش دارای مقدار زیادی کاهش می‌دهد، اما این روش دارای محدودیت‌هایی است که کارایی آن را کاهش می‌دهد. فرض اصلی این روش، برقراری اصل برهم‌نھی است که متضمن رفتار خطی است. در این روش مجموعه‌ی خاک-سازه به دو بخش خاک به علاوه‌ی سازه تقسیم می‌گردد که هر کدام به صورت جداگانه حل می‌شود و در مرحله‌ی نهایی تحلیل، بر اساس اصل برهم‌نھی، نتایج تحلیل‌ها با هم‌دیگر ترکیب می‌شوند. این روش به خصوص در مواقعي که سیستم دارای هندسه‌ی پیچیده می‌باشد کاربرد کم‌تری دارد. در روش مختلط محیط به دو زیر سازه موسوم به میدان نزدیک، که سازه و محدوده‌ی مشخصی از خاک اطراف آن را در بر می‌گیرد و میدان دور، که با قیمانده‌ی محیط خاک نیمه‌بینهایت را شامل می‌شود، تقسیم می‌گردد. در این روش مقادیر تنش و تغییر مکان ابتدا در موقعیت سطح

است، سازه های مورد مطالعه شامل ۵ مدل می باشند که این مدل ها دارای تعداد طبقات ۴، ۱۰، ۱۵، ۲۰ و ۲۵ می باشند. قاب ها به صورت دو بعدی مدل سازی و مورد مطالعه قرار گرفته اند. ارتفاع طبقات این سازه ها ۳ متر می باشد و این مدل ها به صورت قاب بتن آرمه با سیستم قاب خمی متوسط آیین نامه زلزله ۲۸۰۰ ایران طراحی شده اند. دهانه قاب ها ۵ متر انتخاب شده است و در جهت عرضی، قاب ها به اندازه ۵ متر از هم فاصله دارند. سیستم سقف به صورت تیرچه بلوك است و جهت تیرریزی سقف ها به صورت شکل (۳) می باشد. بار مرده گسترده کف را 600 kg/m^2 و بار زنده طبقات و بام طبق آیین نامه ایران 200 kg/m^2 در نظر گرفته شده است. به علاوه وزن خود تیرها و ستون ها با توجه به وزن مخصوص مصالح به کار رفته (بتن و آرماتور) در نرم افزارهای مورد استفاده قابل محاسبه می باشند که به صورت بار مرده به بارهای فوق اضافه می شوند.

مشخصات سیستم خاک مورد بررسی

در جدول (۲) مشخصات چهار نوع خاک مورد مطالعه در این تحقیق برای چهار گروه مختلف خاک در آیین نامه ایران ارائه شده است [۱۷].



شکل ۱ مدل دو بعدی خاک در روش المان محدود

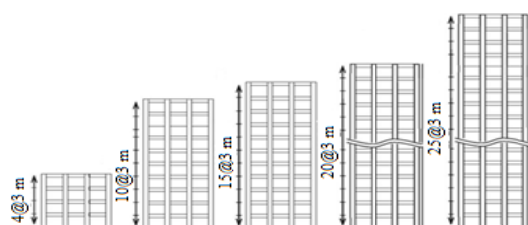
جدول ۱ مشخصات مصالح فولادی و بتنی قاب های بتنی مورد بررسی

ضریب پواسون	مدول الاستیستیte kg/cm^2	تنش تسلیم kg/cm^2	نوع مصالح
۰/۳	201×10^6	۲۸۰۰	فولاد
۰/۲	201×10^6	۲۱۰	بتن

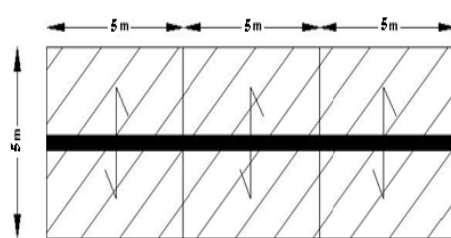
مشخصات سازه های مورد بررسی

برای طراحی قاب های بتنی مسطح، مشخصات مصالح برابر مقادیر جدول (۱) فرض شده است:

در این مطالعه به بررسی سازه های بتنی با قاب خمی متوسط پرداخته شده است و سعی شده از سازه های با ارتفاع کم، متوسط و زیاد در مدل ها استفاده شود. همان طور که در شکل (۲) نشان داده شده



شکل ۲ مدل سازه های منظم



شکل ۳ پلان تیپ سقف طبقات

جدول ۲ مشخصات خاک‌های مورد مطالعه

خاک	Vs(m/s)	تصویف آبین نامه	v	G(N/m ²)	r(Kg/m ³)	(N/m ²)
I	۱۴۰۰	سنگ‌های رسوبی سخت و مقاوم، سنگ‌های آذربین	۰/۳	۴۳۱۲×۱۰ ^۶	۲۲۰۰	۱/۱۲۱×۱۰ ^{۱۰}
II	۶۰۰	سنگ‌های آذربین سست، سنگ‌های سست رسوبی و سنگ‌های دگرگونی متورق	۰/۳۵	۷۹۲×۱۰ ^۶	۲۲۰۰	۲/۱۸۴×۱۰ ^۹
III	۳۰۰	سنگ‌های متلاشی شده بر اثر هوازدگی، خاک‌های با تراکم متوسط	۰/۳۵	۱۹۸×۱۰ ^۶	۲۲۰۰	۵/۳۴۶×۱۰ ^۸
IV	۱۵۰	نهشت‌های نرم با رطوبت زیاد	۰/۴	۴۹/۵×۱۰ ^۶	۲۲۰۰	۱/۳۸۶×۱۰ ^۸

به گره‌های المان‌های مرزی وصل می‌شود. این کار با تعییه کمک فرها و فنرهایی در گره‌های دو مرز جانی ناحیه‌ی نزدیک خاک انجام می‌گیرد. برای محاسبه‌ی سختی فنرها و میرایی کمک فنرها که در مرز ناحیه‌ی دور و نزدیک خاک قرار گرفته‌اند از روابط ارائه شده توسط وايتمن و ریچارد استفاده می‌شود [2].

$$K_x = \frac{G\beta_z \sqrt{BL}\eta_v}{1-\vartheta} \quad (1)$$

$$K_y = 2(1+\vartheta)G\beta_x \sqrt{BL}\eta_h \quad (2)$$

$$K_\theta = G\beta_\phi BL^2\eta_f/(1-\vartheta) \quad (3)$$

که در آن‌ها، ϑ ضریب پواسون، G مدول برشی خاک، B, L ابعاد مقطع مستطیل شکل پی، ضرایب $\beta_\phi, \beta_z, \beta_x$ و ضرایب η_f, η_v, η_h که متأثر از عمق پی می‌باشند از منحنی‌ها و جداول مرجع به دست می‌آیند.

وايتمن با توجه به تأثیر میرایی هندسی و میرائی داخلی، روابط زیر را برای تعیین ضرایب میرائی کل معادل پیشنهاد می‌نماید. رابطه‌ی (۴) برای درجه‌ی آزادی انتقال قائم، رابطه‌ی (۵) برای درجه‌ی آزادی انتقال افقی و رابطه‌ی (۶) برای درجه‌ی آزادی خمشی:

$$\zeta_t = 0.49 \left(\frac{M}{\rho t_0^3} \right)^{-0.5} \quad (4)$$

به منظور مدل کردن سیستم خاک زیر سازه از روش المان محدود که یکی از روش‌های دقیق و پیچیده نسبت به سایر روش‌ها می‌باشد استفاده شده است. بدین منظور خاک زیر سازه به دو قسمت میدان نزدیک و میدان دور تقسیم شده است. ناحیه‌ی نزدیک شامل ناحیه‌ی محدود خاک زیر سازه و میدان دور نزدیک خاک به صورت المان محدود مدل شده است که شامل خاک زیر سازه به عمق ۳۰ متر و به عرض ۶۵ متر از هر طرف سازه که مانند قاب به صورت دو بعدی مدل می‌شود و چون خاک در خارج از صفحه نامحدود می‌باشد، ناحیه‌ی نزدیک خاک به صورت کرنش مسطح مدل می‌شود [8]. هر کدام از المان‌های کرنش مسطح درنظر گرفته شده در مدل دارای ۴ گره در گوش‌ها و هر گره شامل دو درجه‌ی آزادی انتقالی می‌باشد. پی ساختمان به صورت گسترده و صلب در نظر گرفته شده است و به صورت المان تیر صلب در محل اتصال خاک به زیر سازه مدل می‌شود و در محل اتصال این المان‌ها به خاک به منظور شبیه‌سازی رفتار خاک در تماس با سازه از المان‌های فقط فشاری استفاده شده است که از انتقال نیروی کششی سازه به خاک جلوگیری می‌کنند. برای مدل کردن ناحیه‌ی دور که به صورت نیمه می‌نهایت است در طرفین ناحیه‌ی نزدیک خاک از مدل فنر و کمک فنر استفاده می‌شود که

شده توسط Tanrikulu و Yerli برای مدل نشان

داده شده در شکل (۴) با مشخصات ذکر شده در جدول (۳)، با نتایج حاصل از روش FEM پیشنهاد شده در این تحقیق، مقایسه گردید. یولی از روش ترکیبی المان محدود و المان های نامحدود و تانزیکولو از روش المان های مرزی برای مدل سازی این سیستم استفاده کردند [۱۰, ۱۱]. همان گونه که در شکل (۴) نشان داده شده است، پی واقع بر یک نیم فضای خاک به صورت صلب فرض شده است و در اشکال (۶ و ۵) تغییر مکان های قائم نقاط B و C به دست آمده از روش های ذکر شده ارائه گردید و مشاهده شد که مدل پیشنهادی این تحقیق FEM با دیگر مدل ها مطابقت خوبی دارد.

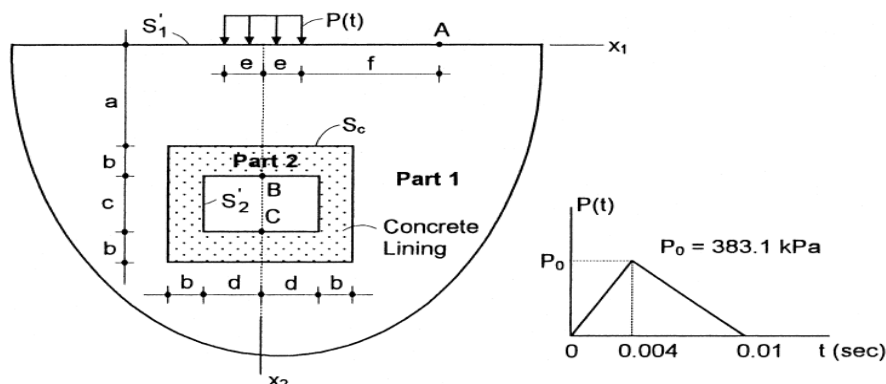
$$\zeta_t = 0.31(M/\rho r_0^3)^{-0.5} \quad (5)$$

$$\zeta_t = 0.05 + 0.1(I_\phi/\rho r_0^5)^{0.5}[1 + (I_\phi/4\rho r_0^5)]^{-1} \quad (6)$$

در این روابط ρ چگالی خاک، r_0 شعاع مؤثر پی، M جرم کل سازه و I_ϕ ممان اینرسی کل سازه می باشد. برای محاسبه سختی و میرایی المان های مرزی، طبق روابط ارائه شده فوق، ناحیه مرزی سهم هر گره به صورت یک پی مستطیلی درنظر گرفته می شود که فنرها و کمک فنرها تعبیه شده در هر گره بر آن عمود هستند.

بررسی صحت مدل خاک در نظر گرفته شده در زیر سازه

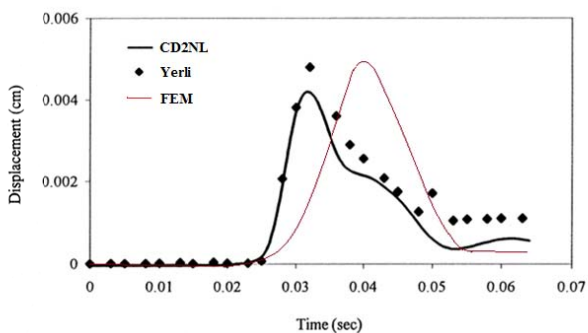
در این مرحله نتایج به دست آمده از روش های ارائه



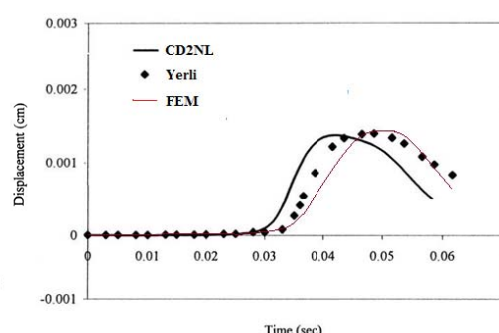
شکل ۴ نیم فضای خاک مورد بررسی و نمودار توزیع بار

جدول ۳ مشخصات خاک نیم فضا و بتن مصرفی

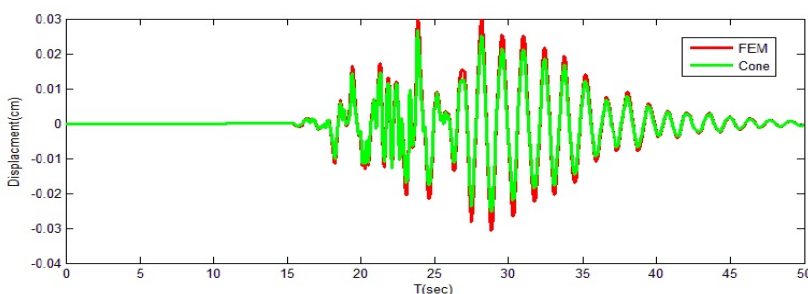
مشخصات	بتن	نیم فضا
مدول برشی	$G = 10.622 \times 10^7 \text{ N/m}^2$	$G = 470.24 \times 10^7 \text{ N/m}^2$
نسبت پواسون	$\nu = 0.17$	$\nu = 0.1$
چگالی	2272 Kg/m^3	2048 Kg/m^3
نسبت میرایی هندسی	$\xi = 0.05$	$\xi = 0.05$
مدول الاستیسیته	$E = 2.485 \times 10^{11}$	$E = 10.345 \times 10^8$



شکل ۶ تغییر مکان قائم در نقطه‌ی B



شکل ۵ تغییر مکان قائم در نقطه‌ی C



شکل ۷ نمودار تغییر مکان بام برای دو مدل Cone و FEM پیشنهادی در تحلیل تاریخچه زمانی برای سازه‌ی ۱۰ طبقه

جدول ۴ مشخصات خاک تعریف شده

ξ	v	$E(N/m^2)$	$G(N/m^2)$	$r(Kg/m^3)$
۰/۰۵	۰/۳۵	$۲/۱۳۸ \times 10^6$	۷۹۲×10^6	۲۲۰۰

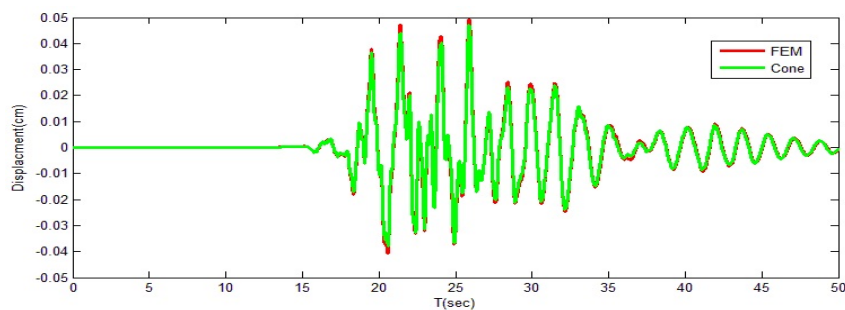
نتایج حاصل از تحلیل مودال و تحلیل تاریخچه زمانی بر این دو مدل در جدول (۵) ارائه شده است.

جدول ۵ نتایج پاسخ سازه در دو نوع مدل Cone و FEM

برش ماکریزم پایه (N)	تغییر مکان ماکریزم بام (cm)	پریود اصلی سازه (Sec)	مدل	تعداد طبقه
۵۲۹۷۷۷	۳/۰۱	۱/۳۹۳	FEM	۱۰
۵۳۸۴۳۷	۲/۶۸	۱/۳۹۶	Cone	
۵۹۲۳۵۴	۴/۹۲	۱/۶۹۳	FEM	۱۵
۶۱۱۳۴۸	۴/۷۱	۱/۷۰۳	Cone	

نمودار تغییر مکان بام برای دو مدل Cone و FEM پیشنهادی، برای قاب ده طبقه در شکل (۷) و برای قاب پانزده طبقه در شکل (۸) ارائه شده است.

در ادامه، مدل المان محدود ارائه شده با مدل Cone که توسط ول夫 برای اعمال تأثیر اندر کنش خاک و سازه ارائه شده است، مورد مقایسه قرار می‌گیرد [۱۵,۲۰]. با استفاده از مدل ول夫 سختی‌ها و میرایی‌های فترها و کمک‌فهره‌ای قائم، افقی، دورانی و پیچشی را در فرکانس‌های مختلف پیدا می‌کنیم. از آنجا که تحلیل مورد بررسی ما در حوزه‌ی زمان می‌باشد، بنابراین سختی و میرایی را فقط در فرکانس اصلی سازه که بیشترین نقش را در اندر کنش خاک و سازه دارد انتخاب می‌کنیم. نوع تحلیل، تحلیل های مودال و دینامیکی تاریخچه زمانی است که تحت بار زلزله نورتربیع می‌باشد. سازه‌های انتخابی، سازه‌های ۱۰ و ۱۵ طبقه، قاب خمسی بتنی متوسط با مشخصات سازه‌ای و بارگزاری معرفی شده در بخش قبل می‌باشند. مشخصات خاک تعریف شده در جدول (۴) آورده شده است.



شکل ۸ نمودار تغییر مکان بام برای دو مدل FEM و Cone پیشنهادی در تحلیل تاریخچه زمانی برای سازه‌ی ۱۵ طبقه

جدول ۶ پریود اصلی سازه‌ها در دو حالت با تأثیر اندر کنش خاک - سازه و بدون آن

تعداد طبقات	زمان تناوب اصلی پایه انعطاف پذیر \bar{T}				تناوب اصلی پایه صلب T	
	نوع خاک					
	I	II	III	IV		
4	۰/۰۰۵	۰/۰۵۶	۰/۵۶۳	۰/۵۸۶	۰/۰۵۶	
10	۱/۳۸۹	۱/۳۹۳	۱/۴۱۲	۱/۴۷۸	۱/۳۸۸	
15	۱/۶۸۰	۱/۶۹۳	۱/۷۳۹	۱/۸۹۷	۱/۶۸۴	
20	۲/۳۴۱	۱/۳۶۱	۲/۴۳۴	۲/۶۷۹	۲/۳۴۳	
25	۲/۹۷۳	۳/۰۰۲	۳/۱۱۰	۳/۴۶۹	۲/۹۷۱	

مکان سیستم‌های با تأثیر اندر کنش خاک-سازه به مقادیر متضاد سیستم‌های بدون تأثیر اندر کنش خاک-سازه محاسبه و منحنی‌های مربوط به آنها رسم گردید.

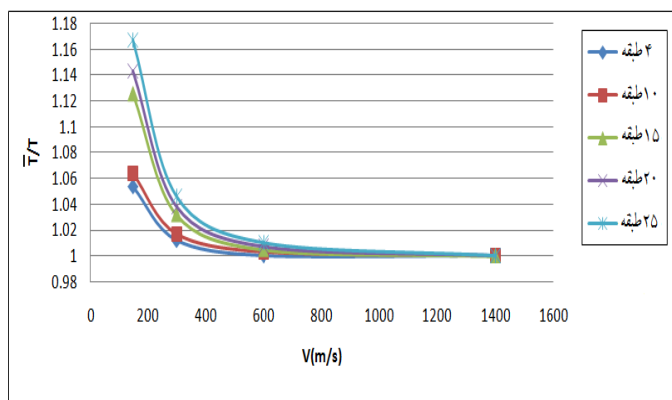
بررسی زمان تناوب اصلی سازه‌ها

به منظور مقایسه‌ی زمان تناوب اصلی سیستم‌های با تأثیر اندرکنش خاک-سازه و بدون آن، قاب‌های معرفی شده با فرض خاک صلب و خاک انعطاف‌پذیر برای چهار نوع خاک معرفی شده تحت آنالیز مودال قرار گرفتند. نسبت زمان تناوب سیستم خاک-سازه در هر نوع خاک به زمان تناوب سازه‌ی متضاد با پایه‌ی صلب محاسبه شد. نسبت‌های $\frac{\bar{T}}{T}$ برای هر نوع قاب و هر نوع خاک مطابق جدول (۶) محاسبه شد که در آن \bar{T} ، زمان تناوب اصلی سیستم با تأثیر اندرکنش خاک-سازه و T ، زمان تناوب اصلی سیستم بدون تأثیر اندرکنش خاک-سازه می‌باشد.

همانگونه که در شکل‌های (۷) و (۸) مشاهده می‌گردد با توجه به نتایج حاصل از دو مدل و نتایج حاصل از مدل‌های ارائه شده در مثال قبل مدل المان محدود پیشنهادشده نتایج خوبی از اعمال تأثیرات اندر کنش خاک و سازه بر پاسخ‌های ارتعاشی سازه ارائه می‌دهد.

تحلیل مودال و دینامیکی تاریخچه زمانی سازه‌های معرفی شده

در این قسمت، ابتدا به بررسی تأثیرات اندر کنش خاک-سازه در زمان تناوب و شکل مودی سیستم‌های مورد مطالعه پرداخته شد و سپس مقادیر زمان تناوب سیستم‌ها با مقادیر به دست آمده طبق آین نامه‌ی NEHRP مقایسه گردید [13]. همچنین این سیستم‌ها به روش تحلیل دینامیکی تاریخچه زمانی تحت ۳ شتاب نگاشت معرفی شده در جدول (۹) تحلیل شدند. سپس نسبت زمان تناوب اصلی، برش پایه و تغییر



شکل ۹ نمودار نسبت‌های $\frac{\bar{T}}{T}$ برای خاک‌های معروفی شده در سرعت‌های موج برشی مختلف

در جدول (۷) مقادیر \bar{T} زمان تناوب سیستم‌ها با در نظر گرفتن اندرکنش خاک-سازه براساس رابطه‌ی پیشنهادی آیین نامه‌ی NHERP و T زمان تناوب متناظر بدون در نظر گرفتن تأثیرات اندرکنش خاک-سازه ارائه گردید. نسبت‌های $\frac{\bar{T}}{T}$ نسبت به سرعت موج برشی خاک‌های مختلف برای تعداد طبقات مختلف در شکل (۱۰) ارائه شد.

با توجه به جدول (۷) و شکل (۱۰)، مشاهده می‌شود که مطابق آیین نامه‌ی NHERP با افزایش نرمی خاک و نیز با افزایش تعداد طبقات، مقدار $\frac{\bar{T}}{T}$ افزایش می‌یابد. با توجه به اشکال (۱۰ و ۹) مشاهده می‌شود که مطابقت خوبی بین نتایج حاصل از آنالیز مودال و آیین نامه‌ی NHERP برای این نسبت وجود دارد.

به منظور بررسی میزان تأثیرات اندرکنش خاک-سازه بر مودهای ارتعاشی بالاتر سازه آنالیز مودال انجام شد و مقادیر \bar{T} و T محاسبه شد و به عنوان نمونه برای سازه‌ی ۱۵ طبقه در ۱۲ پریود اول در جدول (۸) ارائه گردید.

با توجه به نتایج جدول (۸) مشاهده می‌شود که تأثیرات اندرکنش خاک-سازه در برخی از مودهای بالاتر سازه قابل توجه می‌باشد. به طور مثال برای خاک نوع IV پریود سازه در مودهای ارتعاشی ۹ به بالا در حدود سه برابر افزایش پیدا کرده است ولی این افزایش برای مود اول همان خاک در حدود ۰/۱۲ می‌باشد و

نمودار نسبت‌های $\frac{\bar{T}}{T}$ برای خاک‌های مختلف نسبت به سرعت موج برشی آن‌ها در شکل (۹) نشان داده شده است. با مطالعه‌ی نتایج حاصل از تحلیل مودال ۲۰ سیستم معروفی شده در دو حالت با و بدون تأثیر اندرکنش خاک-سازه مشاهده می‌شود که با افزایش نرمی خاک و نیز با افزایش تعداد طبقات سازه (کاهش سختی سازه) تأثیرات اندرکنش خاک-سازه در پریود ارتعاشی سازه‌ها افزایش می‌یابد.

محاسبه‌ی پریود سازه در دو حالت با اندرکنش خاک و سازه و بدون آن به روش آیین نامه‌ی

مطابق با روابط آیین نامه‌ی NHERP به منظور اصلاح زمان تناوب سازه از رابطه‌ی زیر استفاده می‌شود.

$$\bar{T} = T \sqrt{1 + \frac{\bar{K}}{K_y} \left[1 + \frac{K_y h^2}{K_\theta} \right]} \quad (7)$$

که در آن K_y سختی جانبی فونداسیون، K_θ سختی خمی فونداسیون و \bar{K} سختی مؤثر سازه در حالت پایه صلب برای سازه‌های مورد مطالعه می‌باشند و به صورت زیر محاسبه می‌شوند.

$$\bar{K} = 4\pi^2 \left[\frac{W}{gT^2} \right] = \omega^2 \bar{M} \quad (8)$$

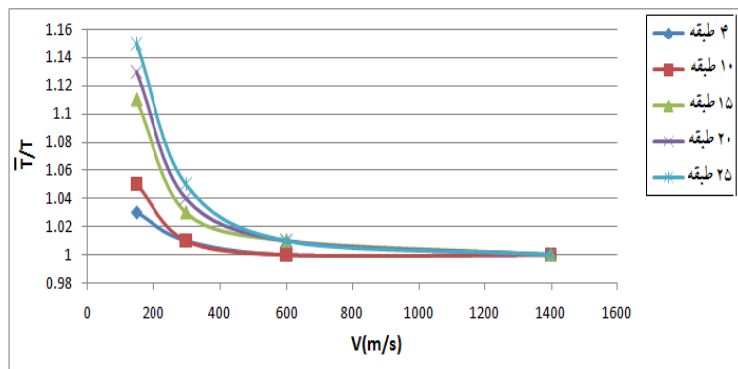
که در آن $M = 0.7\bar{M}$ جرم مؤثر سازه و $h = 0.7\bar{h}$ ارتفاع مؤثر سازه می‌باشد [2,13].

شده است، مودهای ارتعاشی بالاتر نیز درنظر گرفته شده تا نتایج دقیق‌تری حاصل شود.

این، اهمیت درنظر گرفتن مودهای بالای سازه در اندرکنش خاک-سازه را نشان می‌دهد. ولی در این تحقیق به دلیل این‌که از روش المان محدود استفاده

جدول ۷ پریودهای ناشی از دو حالت با اندرکنش خاک-سازه و بدون آن بر اساس روابط آینه‌نامه NHERP

تعداد طبقات	زمان تناوب اصلی پایه اعطاپذیر \bar{T}				تناوب اصلی پایه صلب T	
	نوع خاک					
	I	II	III	IV		
4	۰/۵۵۶	۰/۵۵۷	۰/۵۶۰	۰/۵۷۰	۰/۵۵۶	
10	۱/۳۹۰	۱/۳۹۲	۱/۴۱۳	۱/۴۵۴	۱/۳۸۸	
15	۱/۶۱۹	۱/۶۹۳	۱/۷۴۲	۱/۸۶۲	۱/۶۸۴	
20	۲/۳۵۱	۲/۳۶۳	۲/۴۴۲	۲/۶۴۷	۲/۳۴۳	
25	۲/۹۸۱	۲/۹۹۴	۳/۱۲۴	۳/۴۶۲	۲/۹۷۱	



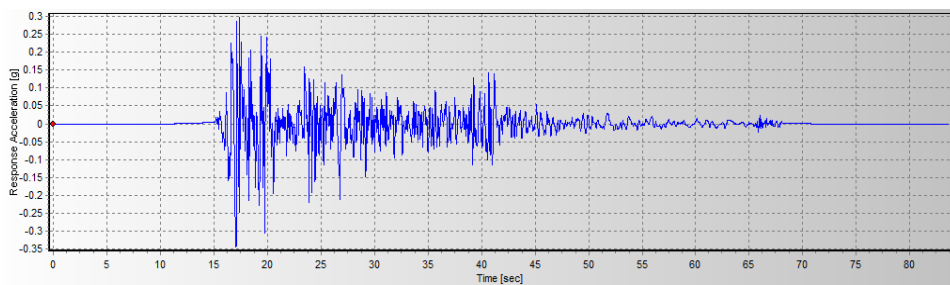
شکل ۱۰ نمودار نسبت‌های $\frac{\bar{T}}{T}$ برای خاک‌های معرفی شده در سرعت‌های موج بر بشی مختلف بر اساس روابط آینه‌نامه NHERP

جدول ۸ مقایسه‌ی ۱۲ پریود اول سازه‌ی ۱۵ طبقه در دو حالت با تأثیر اندرکنش خاک-سازه و بدون آن

مود	نوع خاک در حالت پایه اعطاپذیر				در حالت پایه گیردار
	I	II	III	IV	
1	۱/۷۸۰۰۸۷	۱/۷۹۳۱۳۶	۱/۷۹۶۱۲	۱/۸۹۷۸۳۷	۱/۷۸۴۴۳۷
2	۰/۶۲۲۲۱۳	۰/۶۲۶۶۸۶	۰/۶۲۸۷۳	۰/۶۷۱۴۱۶	۰/۶۲۹۱۴۳
3	۰/۳۵۱۳۳۱	۰/۳۵۱۷۲۳	۰/۳۵۰۸۹۵	۰/۶۰۵۷۶۷	۰/۳۵۳۰۰۶
4	۰/۲۴۴۳۰۷	۰/۲۴۴۶۲۹	۰/۲۲۳۸۲۹	۰/۴۷۶۳۹۵	۰/۲۴۵۵۴۲
5	۰/۱۸۰۰۵	۰/۱۸۰۷۳۴	۰/۲۴۶۷۷۵	۰/۳۹۵۰۹۴	۰/۱۸۰۹۴۷
6	۰/۱۵۳۰۶۸	۰/۱۶۲۹۳۱	۰/۲۴۴۵۹۸	۰/۳۸۱۵۰۲	۰/۱۵۱۳۷۲
7	۰/۱۳۹۸۰۵	۰/۱۶۲۷۶	۰/۲۱۱۲۰۹	۰/۳۵۷۶۰۷	۰/۱۴۰۶۳۴
8	۰/۱۲۸۰۱۵	۰/۱۳۹۶۹	۰/۲۰۷۸۴۷	۰/۳۵۰۵۳۷	۰/۱۲۷۵۲۵
9	۰/۱۱۰۷۶۶	۰/۱۳۰۸۹۲	۰/۱۹۴۴۲۶	۰/۳۴۳۹۲۹	۰/۱۱۱۳۶۲
10	۰/۱۰۷۷۱۴	۰/۱۱۶۱۱۴	۰/۱۸۸۳۹	۰/۳۳۴۶۵	۰/۱۰۷۳۰۴
11	۰/۱۰۵۱۲۵	۰/۱۱۰۹۴۶	۰/۱۸۱۴۶۳	۰/۳۰۶۶۵۵	۰/۱۰۴۸۴۸
12	۰/۰۹۱۰۲۵	۰/۱۰۸۶۸۴	۰/۱۷۶۷۱۵	۰/۳۰۰۸۰۶	۰/۰۹۱۵۳۱

جدول ۹ مشخصات شتاب نگاشتهای مورد استفاده در تحلیل تاریخچه زمانی

شتاب حداقل	ایستگاه	نوع خاک (USGS)	بزرگا	سال	زلزله
۰/۳۴۳۵	El Centro-Imp Vall	A	۷	۱۹۴۰	El Centro
۰/۳۲۸۶	Topanga	A	۶/۷	۱۹۹۴	Northridge
۰/۱۸۵۲	Taft	A	۷/۲	۱۹۵۲	Taft

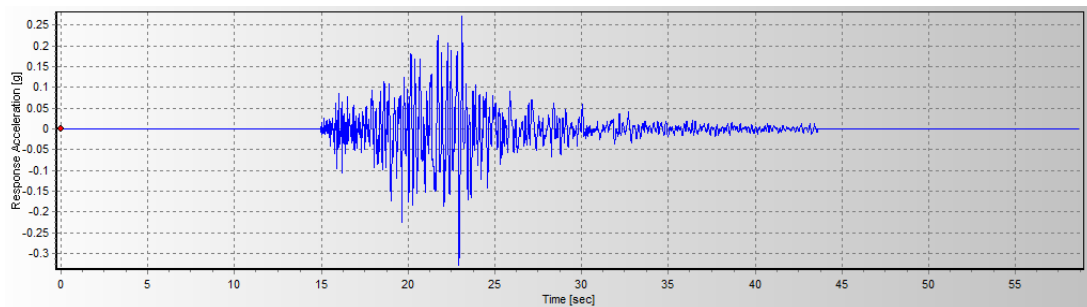


شکل ۱۱ شتاب نگاشت زلزله El Centro در خاک نوع I

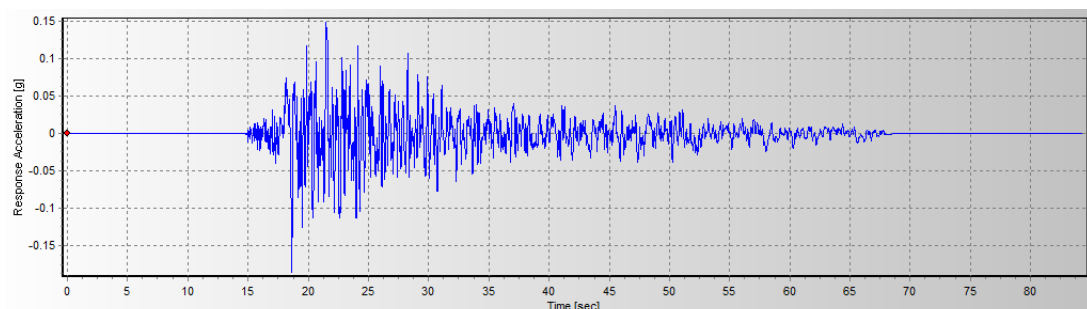
تحلیل سیستم‌های خاک-سازه شتاب نگاشتهای با بستر سنگی اعمال می‌شود و سنج بستر نیز در واقع از جنس خاک نوع یک می‌باشد. این شتاب نگاشتهای هنگام عبور از خاک زیر سازه، بر حسب نوع خاک فیلتر می‌شود و به پایه‌ی سازه اعمال می‌شود. برای قاب‌های پایه صلب واقع بر خاک‌های مورد بررسی شتاب نگاشتهای فیلترشده که در میدان آزاد زمین ثبت شده است، استفاده می‌شود. عمل فیلترینگ شتاب نگاشتهای توسط نرم‌افزار Shake انجام شد [۳]. ضریب اصلاح برای تمامی سیستم‌های اندرکنش خاک-سازه بر اساس طیف طرح استاندارد خاک نوع یک-آین نامه‌ی ۲۸۰۰ و زمان تناوب اصلی سیستم خاک-سازه محاسبه شد. اشکال (۱۱-۱۳) شتاب نگاشتهای مربوط به زلزله‌های معروف شده در جدول ۹ می‌باشند و اشکال (۱۴-۱۶) نمونه‌ای از شتاب نگاشتهای فیلترشدهی زلزله El Centro برای خاک‌های نوع ۲ تا ۴ می‌باشند.

تحلیل تاریخچه زمانی در دو حالت با و بدون اندرکنش خاک-سازه

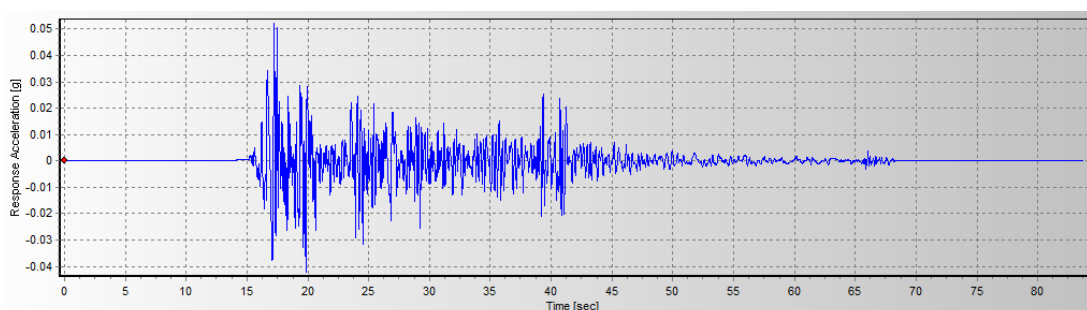
تحلیل دینامیکی سازه با اثر دادن شتاب زمین به صورت تابعی از زمان در تراز پایه ساختمان و با بارگیری محاسبات متعارف دینامیک سازه انجام شد. شتاب زمین بر اساس شتاب نگاشتهای ذکر شده در جدول (۹) تعیین گردید. این تحلیل برای تعیین بازتاب‌ها در هر مقطع زمانی در مدت وقوع زلزله در زمانی که سازه در تراز پایه تحت تأثیر شتاب‌های ناشی از حرکت زمین باشد، انجام می‌شود. در این روش بازتاب‌های دینامیکی سازه که تابعی از زمان است، به وسیله‌ی انتگرال‌گیری معادله‌ی حرکت سازه محاسبه می‌شود. شتاب نگاشتهای مورد استفاده براساس ضوابط آین نامه‌ی ۲۸۰۰ مقیاس گردید. برای تحلیل سیستم‌ها، از زلزله‌های مشخص شده در جدول (۹) که همگی مربوط به خاک نوع یک می‌باشد، استفاده شده است. علت انتخاب خاک نوع یک اینست که برای



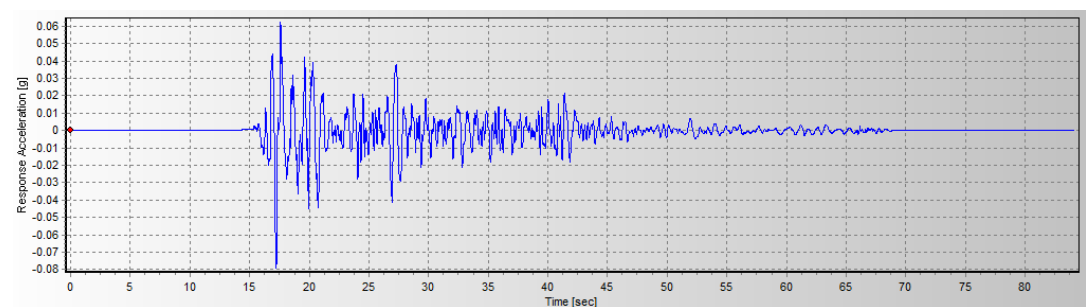
شکل ۱۲ شتاب‌نگاشت زلزله‌ی Northridge در خاک نوع I



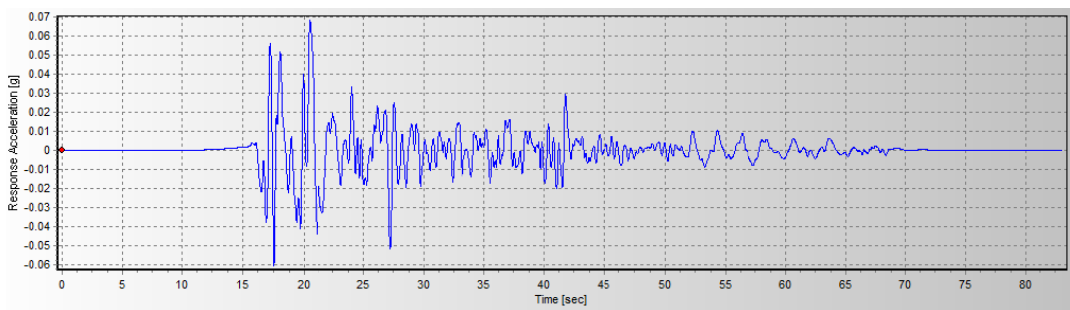
شکل ۱۳ شتاب‌نگاشت زلزله‌ی Taft در خاک نوع I



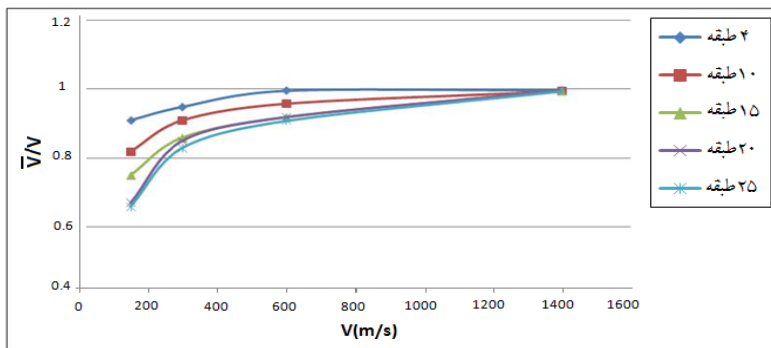
شکل ۱۴ شتاب‌نگاشت فیلترشده‌ی زلزله‌ی El Centro در خاک نوع II



شکل ۱۵ شتاب‌نگاشت فیلترشده‌ی زلزله‌ی El Centro در خاک نوع III



شکل ۱۶ شتاب نگاشت‌فیلترشده زلزله‌ی El Centro در خاک نوع IV

شکل ۱۷ نمودار نسبت‌های $\frac{V}{V_0}$ (برش پایه سازه‌ها) برای خاک‌های معرفی شده در سرعت‌های موج برشی مختلف

v: برش پایه حداکثر بدون اندرکنش خاک‌سازه همان‌طور که در شکل (۱۷) ملاحظه می‌شود، با افزایش ارتفاع سازه میزان تأثیر اندرکنش خاک‌سازه افزایش پیدا می‌کند که البته افزایش وزن سازه نیز در افزایش تأثیر اندرکنش خاک‌سازه تأثیر بسزایی دارد، به عبارت دیگر با افزایش وزن سازه میزان تأثیرات اندرکنش خاک‌سازه در پاسخ سازه افزایش پیدا می‌کند. با توجه به مقادیر $\frac{V}{V_0}$ دریافت می‌شود که اندرکنش خاک‌سازه اثر کاهنده بر مقادیر برش پایه دارد و برای سیستم‌های با تعداد طبقات یکسان، با افزایش نرمی خاک، میزان کاهش برش پایه، یعنی اثر اندرکنش خاک‌سازه، بیشتر خواهد شد. همچنین مشاهده می‌شود که برای سیستم قرارگرفته بر خاکی با سرعت موج برشی یکسان، با افزایش ارتفاع سازه، تأثیر اندرکنش خاک‌سازه بیشتر می‌شود و میزان کاهش برش پایه افزایش می‌شود.

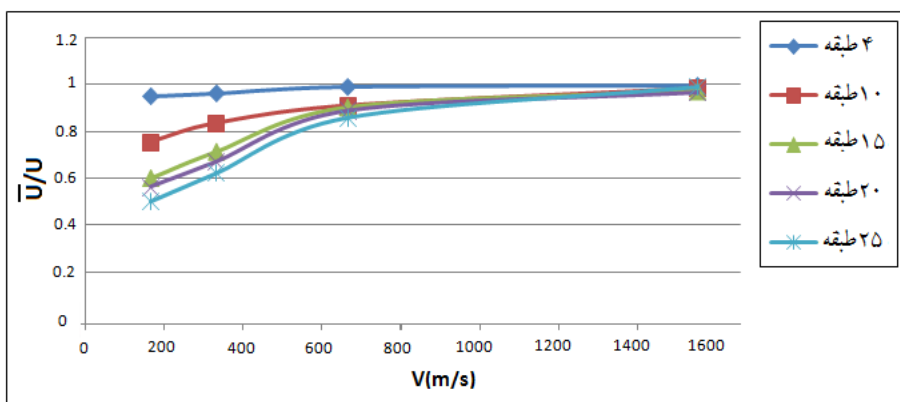
به منظور مقایسه‌ی نیروهای برشی و تغییر مکان‌های طبقات، سازه‌های مورد بررسی در دو حالت بدون در نظر گرفتن اندرکنش خاک‌سازه و با در نظر گرفتن آن، تحت اثر زلزله‌های معرفی شده تحلیل تاریخچه زمانی شدند و برش پایه‌ی ماکریم و تغییر مکان ماکریم طبقات برای هر سیستم به ترتیب در اشکال (۱۸ و ۱۷) نشان داده شده است. مقایسه‌ی نتایج بین هر سیستم خاک‌سازه با تعداد طبقات یکسان و نوع خاک یکسان با سیستم پایه صلب واقع بر همان نوع خاک انجام می‌گیرد. در زیر نمودارهای مربوط به نتایج حاصل از تحلیل تاریخچه زمانی بر سیستم‌های معرفی شده نمایش داده شده است. که در آن‌ها

آ: تغییر مکان حداکثر طبقه فوقانی با اندرکنش خاک-

سازه

ب: تغییر مکان حداکثر طبقه فوقانی بدون اندرکنش خاک‌سازه

v: برش پایه حداکثر با اندرکنش خاک‌سازه



شکل ۱۸ نمودار نسبت های $\frac{U}{U_0}$ (تغییر مکان طبقات فوقانی) برای خاک های معرفی شده در سرعت های موج برشی مختلف

تعداد طبقات سازه، نوع سازه‌ی به کار رفته، نوع خاک زیر سازه، بارگذاری و نوع تحلیل به کار رفته با خوابط و پارامترهای آئین‌نامه‌ی ۲۸۰۰ قابل استفاده می‌باشد.

تأثیرات شرایط مختلف خاک زیر سازه با سرعت های موج برشی متفاوت بر قاب‌های بتُنی با ارتفاع و تعداد طبقات متفاوت تحت تأثیر سه زمین‌لرزه معرفی شده مطابق با پارامترها و ضوابط نامه‌ی ۲۸۰۰ مورد مطالعه قرار گرفت و تأثیرات در نظر گرفتن اندرکنش خاک و سازه در تغییر مکان‌های جانبی سازه، برش پایه و پریود ارتعاشی سازه خصوصاً در مورد پریودهای ارتعاشی بالاتر سازه در جداول و نمودارها ارائه شد و در مورد این نتایج بحث شد.

نتایج به دست آمده از تحلیل مودال قاب‌های موردن بررسی برای مدد ارتعاشی پایه سازه با نتایج به دست آمده از روش بیان شده در آئین‌نامه‌ی NEHRP مقایسه شد و هم‌چنین ضرورت در نظر گرفتن مودهای ارتعاشی بالاتر سازه که از ویژگی‌های اساسی این روش می‌باشد بررسی شد.

به منظور ارزیابی دقیق روش پیشنهاد شده در زمینه‌ی تحلیل دینامیکی تاریخچه زمانی، این روش با سه روش المان‌های مرزی BEM، روش ترکیبی المان‌های محدود و المان‌های نامحدود و روش مخروطی Cone مقایسه شد و نتایج آن توسط نمودارها

با توجه به مقادیر $\frac{U}{U_0}$ در شکل (۱۸) دریافت می‌شود که اندرکنش خاک‌سازه، اثر کاهنده بر مقادیر تغییر مکان دارد و برای سیستم‌های با تعداد طبقات یکسان، با افزایش نرمی خاک (کاهش سرعت موج برشی) میزان این تأثیرات افزایش می‌یابد. این امر مربوط به کاهش نیروی برشی پایه‌ی ناشی از اندرکنش خاک‌سازه در سیستم‌های فوق می‌باشد. هم‌چنان مشاهده می‌شود که برای یک سیستم خاک با سرعت موج برشی یکسان با افزایش ارتفاع سازه و به طبع آن با افزایش وزن سازه تأثیر اندرکنش خاک‌سازه بیشتر می‌شود و میزان کاهش تغییر مکان افزایش می‌شود.

با توجه به دو نمودار فوق مشاهده می‌شود که شدت روند کاهش نسبت‌های برش پایه و تغییر مکان طبقه‌ی فوقانی برای سازه‌های ۲۰ و ۲۵ طبقه کمتر از میزان آن برای سایر سازه‌ها می‌باشد که دلیل آن وجود حرکت گهواره‌ای زیاد در سازه‌های مرتفع می‌باشد.

نتیجه‌گیری

در این مطالعه تلاش شده است تا روشی بر پایه‌ی المان‌های محدود به منظور اعمال تأثیرات اندرکنش خاک و سازه برای سازه‌های متداول پیشنهاد شود. این مدل بدون هیچ گونه محدودیتی برای انواع سازه‌ها با خصوصیات سازه‌ای متفاوت از جمله ارتفاع سازه،

خاک‌های با سرعت موج برشی کم‌تر است. این افزایش به‌خاطر اثر حرکت گهواره‌ای و اثر حرکت انتقالی فونداسیون می‌باشد.

و جداول مربوطه ارائه شد که نشان‌دهنده‌ی دقت کافی مدل پیشنهادشده می‌باشد.

مشاهده می‌شود که نسبت‌های $\frac{U}{U}$ برای سازه‌ی ۲۵ طبقه همواره بزرگ‌تر از نسبت‌های $\frac{V}{V}$ به خصوص در

مراجع

1. Mihailo, D.T., Maria, I.T., Tzong-Ying, "Full-scale experimental studies of soil–structure interaction", the 2nd US– Japan workshop on soil–structure interaction, Tsukuba City, Japan, March 6–8, (2001).
2. Whitman, R.V., Richart, F.E., "Design procedures for dynamically loaded foundations", ASCE *Journal of Soil Mechanics*, pp. 169–193, (1967).
3. Lysmer, J., Seed, H.B., "SHAKE: A computer program for earthquake response analysis of horizontally layered sites", Earthquake Engineering Research Center, University of California, Berkeley, Report No. EERC 72–12, (1972).
4. Kasel, E., Roessel, J.M., "Dynamic stiffness and circular foundation", ASCE *Journal of Soil Mechanics*, pp. 771–785, (1975).
5. Lysmer, J., Ueda, T., Tsai, C.F., Seed, H.B., "Flush- a computer program for approximate 3D analysis of soil-structure interaction problems", Earthquake Engineering Research Center, University of California, Berkeley, Report No. EERC 75–30, (1975).
6. Gupta, S., Penzien, J., Lin, T.W., and Yeh, C.S., "Three-dimensional hybrid modeling of soil-structure interaction", CS Earthquake Engineering structure Dynamic, Vol 10, No 1, Jan-Feb, (1982).
7. Bazan, E., Bielak, J., "Three dimensional seismic response of building-foundation systems ", U.S. Geological Survey, Proceedings UJNR Workshop on Soil-Structure Interaction, California, September, (1998).
8. Wilson, E.L., "SAP2000 integrated finite element analysis and design of structures", Computers and Structures Inc., Berkeley, California, (1997).
9. Rodrigues, M.E., Montes, R., "Seismic response and damage analysis of buildings supported on the flexible soil", Earthquake Engineering structure Dynamic, No. 29, (2000).
10. Yerli, H.R., Temel, B., Kiral, E., "Transient infinite elements for 2-dimensional soil-structure interaction analysis", Journal Geotechnical and Geoenvironmental Engineering ASCE, 124(10): 976-88, (1998).
11. Tanrikulu, A.H., Yerli, H.R., Tanrikulu, A.K., "Application of multi-region boundary element method to dynamic soil structure-interaction analysis", *Journal of computer and geotechnics*,

- Elsevier, 9 Nov, (2001).
12. Jaya, K.P., Prasad, M.A., "Embedded foundation in layered soil under dynamic excitations", *Soil Dynamic Earthquake Engineering*, (2002).
 13. Wolf, J.P., Song, C., "Some cornerstones of dynamic soil-structure interaction", *Engineering Structures*, Vol. 24, 13-28, (2002).
 14. "NEHRP Recommend ended provisions for seismic regulations for new building", Washington, Part I, Building seismic safety council (BSSC), (2003).
 15. Yerli, H.R., Kacin, S., "A parallel finite-infinite element model for two-dimensional soil-structure interaction problems", *Journal of Soil Dynamics and Earthquake Engineering*, Vol. 23, pp. 249–253, (2003),
 16. Wolf, J.P., Deeks, J., "Foundation vibration analysis: A strength-of-materials approach", Oxford, UK, Elsevier Science, Ltd., (2004),
 17. Hosseinzadeh, N.A., Nateghi, F., "Shake table study on soil-foundation-structure interaction effects", International Institute of Earthquake Engineering and Seismology (IIEES), (2004).
 18. "Iranian Code of Practice for Seismic Resistant Design of Buildings (3rd Edition), Standard No. 2800-05", Building and Housing Research Center of Iran (BHRC), (2005).
 19. Hong, J.L., Jian, L., "Analysis of Soil-Structure Interaction with Finite Element Method", *journal of Key Engineering Materials*, pp. 340-341, (2007).
 20. Nasser, M., "Seismic response of RC frames considering dynamic soil-structure interaction", 18th International Conference on the Application of Computer Science and Mathematics in Architecture and Civil Engineering ,Germany, 07–09 July,(2009).
 21. Mohasseb, S., Abdollahi, B., "Soil – structure interaction analysis using cone model", *Journal of Seismology and Earthquake Engineering (JSEE)*, (2009).